

ЛЕКЦИЯ 1

Незатухающие колебания механических систем.

Гармонический осциллятор.

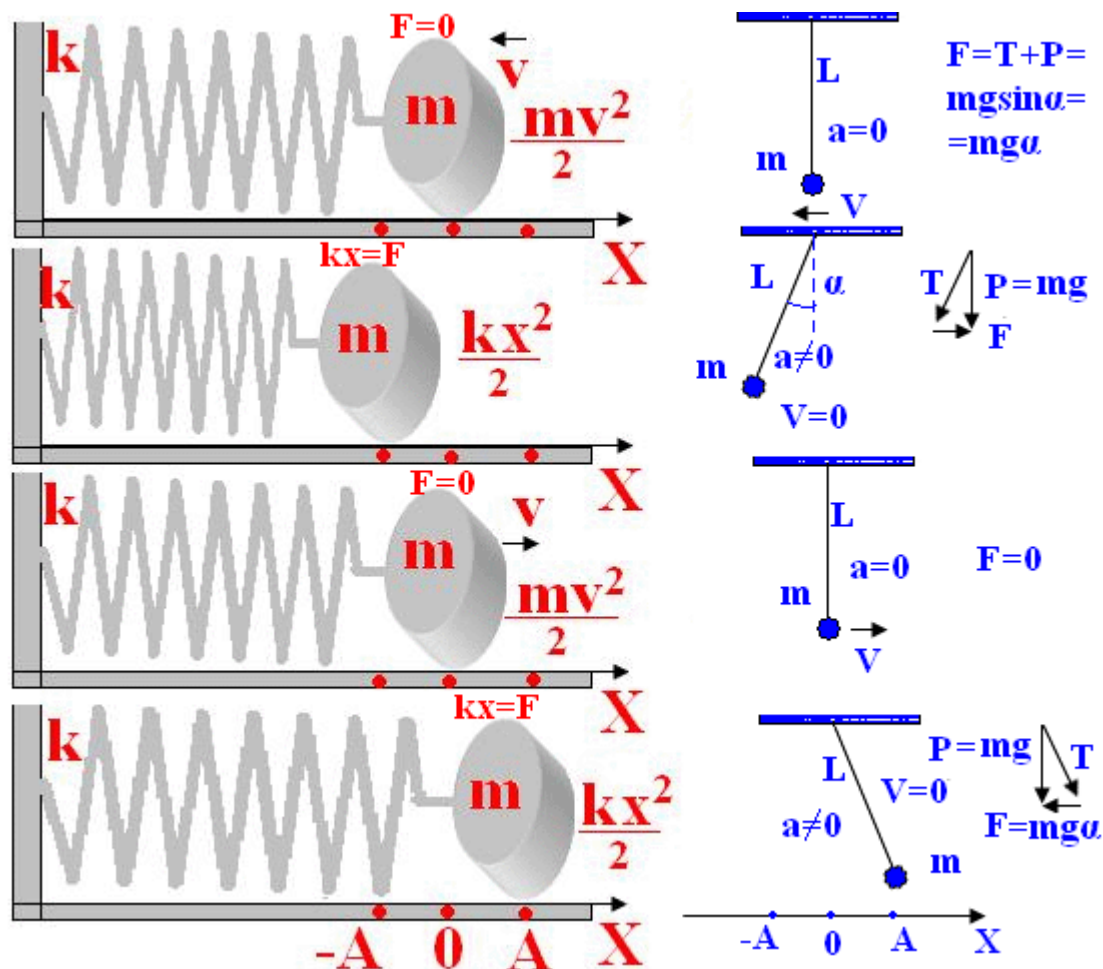


Рис. 1 – Ряд превращений механической энергии пружинного маятника и последовательность для энергии математического маятника при незатухающих колебаниях.

На рисунке 1 иллюстрация незатухающих колебаний, которые могут возникнуть при условии отсутствия диссипативных сил, как изнутри, так и снаружи представленных физических объектов. Это может быть, когда пружина абсолютно упругая, нить абсолютно нерастяжимая, а вокруг абсолютный вакуум, т.е. ситуация идеализированная.

Для пружинного маятника можно записать равенство силы (ma) возвращающей тело массой m силе упругости, которая, по закону Гука равна kx , сл-но, $ma = -kx$. По определению, ускорение есть вторая производная перемещения по времени, следовательно, $m d^2x/dt^2 + kx = 0$, а заменив $k/m = \omega_0^2$, получим

$$\ddot{x} + \omega_0^2 x = 0 \quad (1)$$

это каноническое дифференциальное уравнение для незатухающих колебаний, где $\omega_0 = \sqrt{\frac{k}{m}}$ – циклическая (круговая) собственная частота, а

$T = \frac{2\pi}{\omega_0} = 2\pi \sqrt{\frac{m}{k}}$ – период колебаний. Решение канонического дифференциального уравнения даёт уравнение движение:

$$x = A \cos(\omega_0 t + \varphi) \quad (2),$$

где x – отклонение материальной точки от положения равновесия в момент времени t ; A – максимальное отклонение материальной точки от положения равновесия; $(\omega_0 t + \varphi) = \Phi$ – фаза колебания в момент времени t ; φ – фаза колебания в момент времени $t=0$, т.е. начальная фаза. Определения для физического термина «фаза колебания» будет $\Phi = \arccos \frac{x(t)}{A}$; отношение (в угловой мере) отклонения в момент времени t к максимальному отклонению.

Аналогично, для математического маятника можно записать равенство силы (ma) возвращающей тело массой m силе $F = mg \sin \alpha$, как видно из схемы действия сил (см. рис.), при условии малого отклонения нити математического маятника от положения равновесия, $\alpha = \sin \alpha = \tan \alpha = x/L$. $F = mg \sin \alpha = mgx/L$ сл-но, $ma = -mgx/L$. Получаем дифференциальное уравнение $d^2x/dt^2 + gx/L = 0$, а заменив $g/L = \omega_0^2$, получим $\ddot{x} + \omega_0^2 x = 0$ получим (1) каноническое дифференциальное уравнение для незатухающих колебаний, где $\omega_0 = \sqrt{g/L}$ – собственная частота, а $T = 2\pi \sqrt{L/g}$ – период колебаний.

Решение канонического дифференциального уравнения даёт уравнение движение (2): $x = A \cos(\omega_0 t + \varphi)$. Для пружинного и математического маятника, мы получили идентичные уравнения движения для незатухающих колебаний. Иницирует колебательный процесс, в первом случае, сила упругости пружины ($F = kx$), а во втором, равнодействующая сил гравитации и натяжения нити ($F = mgx/L$). В обоих случаях, сила имеет прямо пропорциональную зависимость от отклонения м.т. из положения равновесия, что приводит к идентичным уравнениям.

Физическую систему, совершающую процесс, описываемый уравнением (1), называют **гармоническим осциллятором**. Также общепринято называть колебания гармоническими, если $F/x = \text{const}$ и уравнение движения материальной точки можно записать набором гармонических функций синуса и косинуса, сл-но, пружинный и математический маятник совершают гармонические колебания. Аналогичные рассуждения можно применить к физическому маятнику, а также к любому физическому объекту (системе) при условии отсутствия диссипативных сил и убедится, что будет получено каноническое уравнение $\ddot{x} + \omega_0^2 x = 0$, которое называют уравнением гармонического осциллятора. Это уравнение применимо для широкого перечня физических объектов от микрочастиц (электрон внутри атома, атом, молекула) до планетных систем и скопления галактик.

Если координату гармонического осциллятора (пружинный, математический маятник и т.д.) обозначить X , а импульс - p , то полная механическая энергия [под действием консервативных (упругость, гравитация) сил и исключительного отсутствия диссипативных (трение) сил],

которая по закону сохранения не изменяется во времени, может быть записана суммой кинетической и потенциальной энергий: $const = \frac{p^2}{2m} + \frac{kx^2}{2} = \frac{p^2}{2m} + \frac{m\omega_0^2 x^2}{2}$.

Следовательно, $1 = \frac{p^2}{2mE} + \frac{x^2}{2E/m\omega_0^2}$. Это уравнение, изображенного на рисунке эллипса, который называется фазовой траекторией гармонического осциллятора. Координатную плоскость (X, p) называют фазовой плоскостью (см. рис. 2).

Площадь эллипса имеет размерность момента импульса гармонического осциллятора и равна произведению полуосей, умноженному на π : $\pi\sqrt{2mE} \sqrt{2E/m\omega_0^2} = 2\pi \frac{E}{\omega_0} = \dot{L}$. Таким образом, для гармонического осциллятора величина запасенной энергии неизменна, величины импульса и момента импульса изменяются в процессе колебаний, как по величине, так и по направлению. Площадь (\dot{L}) фазовой плоскости, ограниченная фазовой траекторией гармонического осциллятора, неизменна во времени при отсутствии диссипативных сил $\dot{L} = 2\pi E/\omega = E/v_0$, таким образом, полная энергия гармонического осциллятора $E = v_0 \dot{L}$, где $v = 2\pi\omega_0$ – частота его колебаний. Поскольку, $d\dot{L} = P dX$, и $\dot{L} = \int P dX$, то энергию гармонического осциллятора можно записать (см. рис. 2)

$$E = v_0 \int P dX, \quad (3),$$

соотношение (3) пригодится нам в третьем семестре. (!)

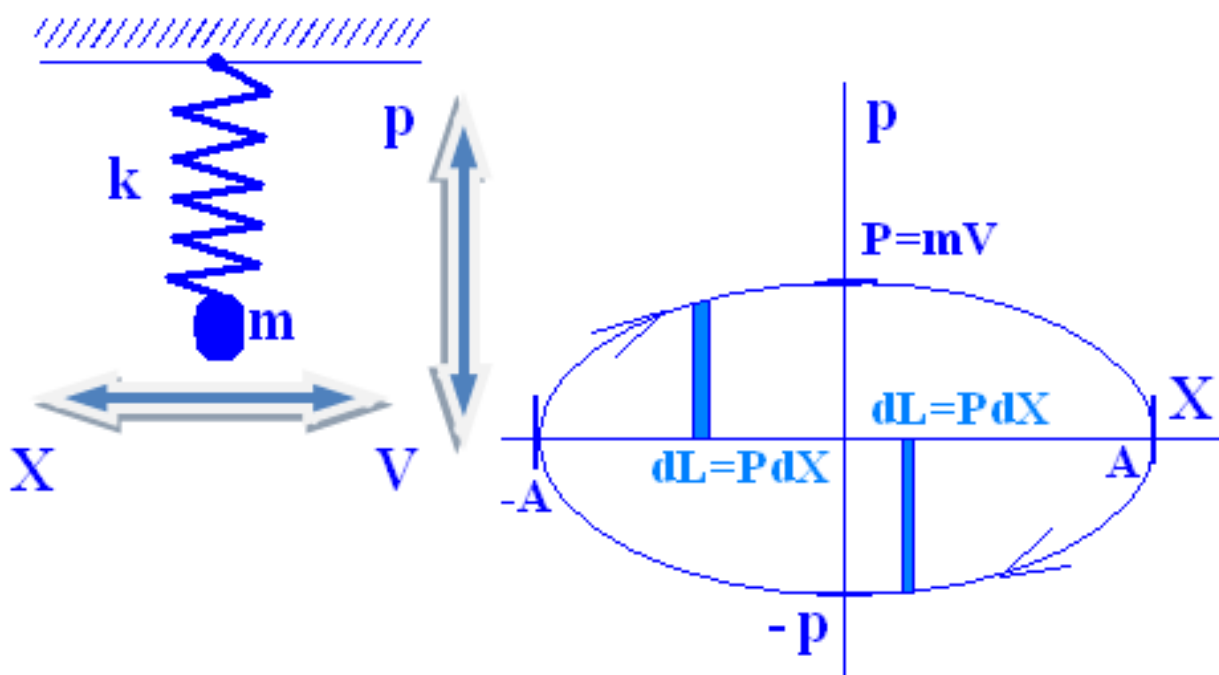


Рис. 2– Фазовая траектория гармонического осциллятора в координатной плоскости (X, p) .

Если продифференцировать выражение (2) по времени, получим скорость движения материальной точки в процессе гармонических колебаний

$$V = \dot{x} = -A\omega_0 \sin(\omega_0 t + \varphi) = -V_{max} \sin(\omega_0 t + \varphi) \quad (4),$$

а дифференцируя дважды, получим величину ускорения

$$a = \ddot{x} = -A\omega_0^2 \cos(\omega_0 t + \varphi) = -a_{max} \cos(\omega_0 t + \varphi) \quad (5),$$

как видно, смещение из положения равновесия и ускорение изменяются в противофазе.

Кинетическая энергия гармонического осциллятора:

$$E_{кин} = mV^2/2 = \frac{mA^2\omega_0^2}{2} \sin^2(\omega_0 t + \varphi) = \frac{kA^2}{2} \sin^2(\omega_0 t + \varphi) \quad (6).$$

Потенциальная энергия гармонического осциллятора:

$$E_{пот} = kx^2/2 = \frac{kA^2}{2} \sin^2(\omega_0 t + \varphi) \quad (7).$$

$$E_{пол} = E_{кин} + E_{пот} = \frac{kA^2}{2} \sin^2(\omega_0 t + \varphi) + \frac{kA^2}{2} \sin^2(\omega_0 t + \varphi) = \frac{kA^2}{2} \quad (8)$$

Уравнение полной энергии не содержит t , т.е. не зависит от времени.

Очевидно, что обнаружить гармонический осциллятор на оси X в интервале $[-A, A]$ будет событием достоверным, т.е. его вероятность $W=1$. Плотность вероятности, как $f(x)=dW/dx$ представлена на рисунке 3 и иллюстрирует тот факт, что вероятность обнаружить гармонический осциллятор вблизи положения равновесия намного меньше вероятности его обнаружения рядом с амплитудным значением отклонения от положения равновесия, поскольку $S_1 > S_2$. Соотношение $W = \int f(x) dx = 1$ называется условием нормировки и отражает факт нахождения гармонического осциллятора в интервале $[-A, A]$.

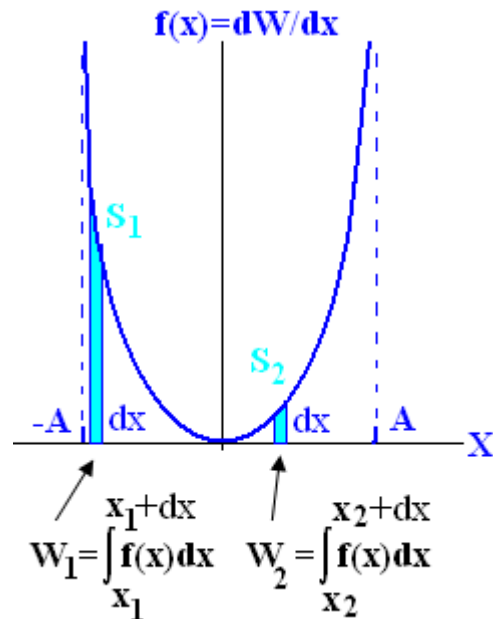


Рис. 3– Плотность вероятности нахождения гармонического осциллятора в интервале координат $(-A, A)$ на оси X .

ЛЕКЦИЯ 2

2.1. Затухающие колебания механических систем.

Для иллюстрации затухающих колебаний можно использовать прежний рис. 1 ЛЕКЦИЯ 1, но добавить действие диссипативных сил, как изнутри (например, внутренне трение - взаимодействие атомов внутри пружины), так и снаружи (например, трение о воздух) представленных физических объектов. Т.е. пружина не абсолютно упругая, нить не абсолютно нерастяжимая, а вокруг среда (газ, жидкость), т.е. ситуация реальная. Для малой амплитуды и небольшой скорости колебаний сила трения пропорциональна величине скорости:

$$f = -rV = -r\dot{x} \quad (9),$$

где r – коэффициент сопротивления, который зависит от вязкости и внутреннего трения окружающей среды; V – скорость движения тела в этой среде.

В новых реальных условиях для пружинного маятника можно записать вместо уравнения (1):

$$\ddot{x} + 2\beta\dot{x} + \omega_0^2 x = 0 \quad (10),$$

где $\beta = r/2m$, а заменив $k/m = \omega_0^2$.

Это дифференциальное уравнение затухающих колебаний, но $\omega_0 = \sqrt{\frac{k}{m}}$ – собственная частота, т.е. частота с которой совершаются незатухающие колебания. Решая дифференциальное уравнение, получим уравнение движения для затухающих колебаний:

$$x(t) = Ae^{-\beta t} \cos(\omega t + \varphi) \quad (11),$$

где $x(t)$ – отклонение материальной точки от положения равновесия в момент времени t ; $Ae^{-\beta t}$ – амплитуда затухающих колебаний; β – коэффициент затухания; ω – частота затухающих колебаний; $(\omega t + \varphi) = \Phi$ – фаза колебания в момент времени t ; φ – фаза колебания в момент времени $t=0$, т.е. начальная фаза.

Собственная частота свободных колебаниях (ω_0) и частота затухающих колебаний (ω) связаны соотношением:

$$\omega^2 = \omega_0^2 - \beta^2 \quad (12),$$

следовательно, период затухающих колебаний

$$T = \frac{2\pi}{\sqrt{\omega_0^2 - \beta^2}} \quad (13).$$

При незначительном сопротивлении среды ($\beta \ll \omega_0$): $\omega = \omega_0$; частота и период колебаний затухающих колебаний совпадают с соответствующими характеристиками свободных (незатухающих) колебаний.

Для характеристики затухающих колебаний используют величину, называемую Декремент затухания, определяемый, как

$$\frac{A(t)}{A(t+T)} = e^{\beta t} \quad (14),$$

а натуральный логарифм этой величины – логарифмическим декрементом затухания:

$$\lambda = \ln \frac{A(t)}{A(t+T)} = \ln e^{\beta T} = \beta T \quad (15).$$

Физический смысл логарифмического декремента затуханий: это величина обратная числу колебаний совершаемых за время уменьшения амплитуды колебания в e раз.

Ещё одна характеристика системы, совершающей затухающие колебания, - Добротность:

$$Q = \pi / \lambda = \pi / \beta T \quad (16).$$

Ранее (Лекция 1) было показано, что в фазовой плоскости (X p) траектория гармонического осциллятора имеет форму эллипса. Для гармонического осциллятора, совершающего свободные незатухающие колебания, величина запасенной энергии неизменна. Для медленно затухающих колебаний при условии $\beta \ll \omega$ импульс осциллятора определен, как:

$$P = mV = m\dot{x} = \frac{d\{Ae^{-\beta t} \cos(\omega t + \varphi)\}}{dt} = -mA\beta e^{-\beta t} \cos(\omega t + \varphi) - mA\omega e^{-\beta t} \sin(\omega t + \varphi) = -mAe^{-\beta t} [\beta \cos(\omega t + \varphi) + \omega \sin(\omega t + \varphi)] = -mA\omega e^{-\beta t} \sin(\omega t + \varphi) \quad (17)$$

Модуль импульса системы, совершающей затухающие колебания, со временем постоянно убывает по закону: $P = mA\omega e^{-\beta t}$.

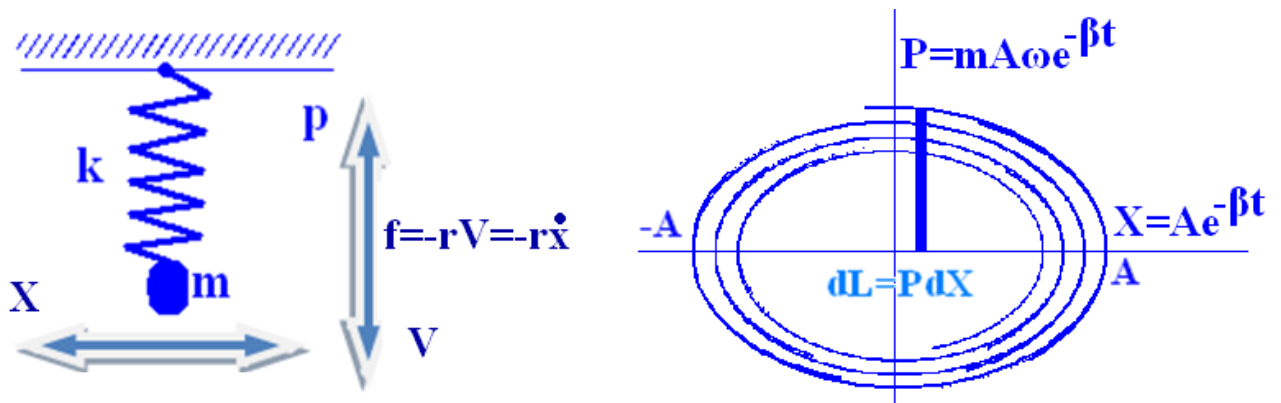


Рис. 3– Фазовая траектория осциллятора, совершающего затухающие колебания, в координатной плоскости (X p).

Итак, фазовая траектория осциллятора, иллюстрирует тот факт, что в процессе затухающих колебаний происходит закономерное (экспонента) убывание амплитуды, механической энергии, модуля импульса и момента импульса механической системы.

2.2. Вынужденные колебания механических систем.

Вынужденными колебаниями механической системы называют колебания, возникающие под действием внешней периодической силы, которая изменяется по гармоническому закону $f = F_0 \cos \omega t$.

Дифференциальное уравнение движение (10) в этом случае принимает вид:

$$\ddot{x} + 2\beta\dot{x} + \omega_0^2 x = f_0 \cos \omega t \quad (18),$$

где $f_0 = F_0/m$, $\beta = r/2m$.

Решение этого уравнения имеет вид:

$$x(t) = A \cos(\omega t - \psi) \quad (19),$$

$$\text{где } A = \frac{f_0}{\sqrt{(\omega_0^2 - \omega^2)^2 + 4\beta^2 \omega^2}}, \quad (20)$$

$$\psi = \arctg \frac{2\beta\omega}{\omega_0^2 - \omega^2}. \quad (21)$$

Сумма уравнений (11) и (19) даёт общее решение уравнения (18):

$$x(t) = Ae^{-\beta t} \cos(\omega t + \varphi) + \frac{f_0}{\sqrt{(\omega_0^2 - \omega^2)^2 + 4\beta^2 \omega^2}} \cos\left(\omega t - \arctg \frac{2\beta\omega}{\omega_0^2 - \omega^2}\right) \quad (22).$$

Иллюстрация уравнений движения $x(t)$ материальной точки, совершающей незатухающие, затухающие и вынужденные колебания представлены на рисунке 4.

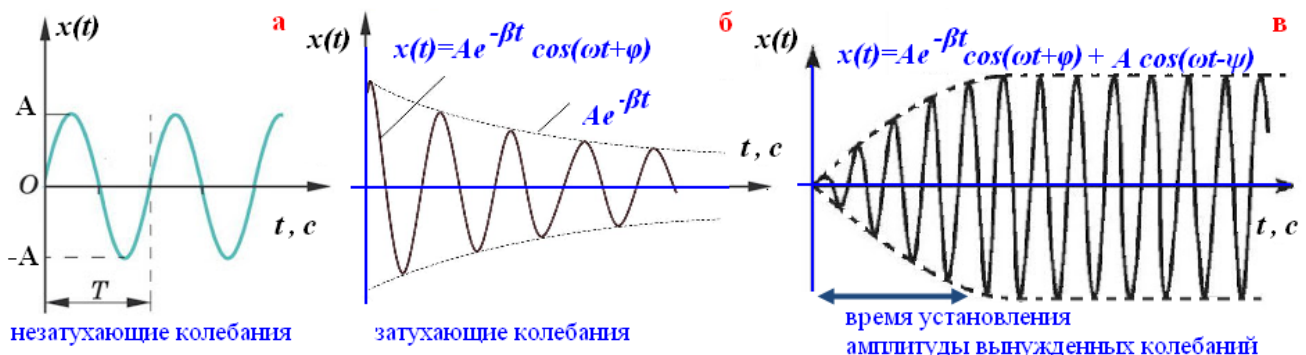


Рис. 4– Графическая иллюстрация свободных незатухающих (а), затухающих (б) и вынужденных (в) колебаний механической системы.

Резонанс для колебаний механической системы. Резкое возрастание амплитуды колебания механической системы называют РЕЗОНАНСОМ. Условие резонанса: сближение частоты колебаний вынуждающей силы и собственной частоты колебаний механической системы. Поскольку собственная частота колебаний величина неизменная (без изменения самой системы), то резонанс возникает и исчезает при изменении частоты вынуждающей силы. Чтобы найти максимальную величину амплитуды при резонансе необходимо продифференцировать выражение (20), приравнять производную нулю и получить:

$$-4(\omega_0^2 - \omega^2)\omega + 8\beta^2 \omega = 0 \quad (23).$$

Уравнение (23) имеет три решения $\omega=0$ и $\omega = \mp\sqrt{\omega_0^2 - 2\beta^2}$. Очевидно, что равенство нулю означает отсутствие колебательного процесса, а частота с

отрицательным знаком не имеет физического смысла. Остается единственное решение для резонансной частоты вынуждающей силы:

$$\omega_{\text{резонанса}} = \sqrt{\omega_0^2 - 2\beta^2} \quad (24).$$

Подставляя (24) в (20), получим:

$$A_{\text{резонанса}} = \frac{f_0}{2\beta\sqrt{\omega_0^2 - \beta^2}} \quad (25).$$

Из соотношения (25) следует, что при отсутствии сил трения ($\beta=0$) частота резонанса совпадает с собственной частотой системы и амплитуда резонанса обращается в бесконечность, т.е. наступает разрушение механической системы. Согласно (12) при $\beta \rightarrow 0$ $A_{\text{резонанса}} = \frac{f_0}{2\beta\omega}$.

На рисунке 5 представлены амплитудно-частотные зависимости, характеризующие вынужденные колебания механической системы для разных условий сопротивления среды.

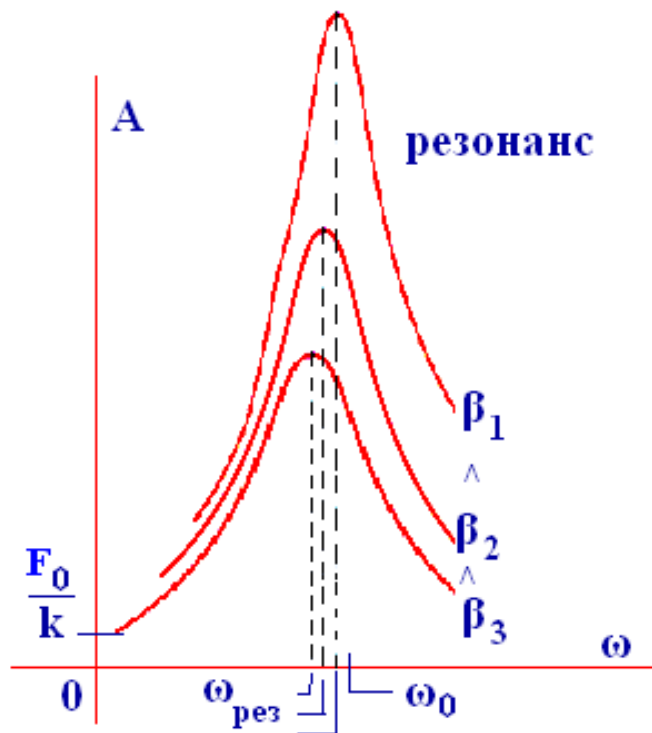


Рис. 5– Графическая иллюстрация явления резонанса – амплитудно-частотные характеристики (АЧХ) вынужденных колебаний механической системы; с увеличением сопротивления среды ($\beta_1 < \beta_2 < \beta_3$) уменьшается резонансная частота ($\omega_1 > \omega_2 > \omega_3$).

АЧХ, представленные на рис. 5 называют резонансными кривыми. Из анализа резонансных кривых можно заметить, что при стремлении к нулю частоты вынуждающей силы - амплитуда достигают наименьшей величины F_0/k – смещение из положения равновесия под действием силы F_0 . При стремлении частоты вынуждающей силы к бесконечности все АЧХ

асимптотически стремятся к нулю, т.е. механическая система не успевает реагировать на внешнее воздействие и не смещается из положения равновесия, т.е. колебаний нет. Чем меньше сопротивление среды или меньше диссипативные силы, тем острее максимум АЧХ и сильнее явление резонанса.

Из уравнения (25) следует, что при $\beta \ll \omega_0$:

$$A_{\text{резонанса}} \approx \frac{f_0}{2\beta\omega_0} \quad (26).$$

$$\frac{A_{\text{рез}}}{x_0} = \frac{\omega_0}{2\beta} = \frac{2\pi}{2\beta T} = \frac{\pi}{\lambda} = Q \quad (27)$$

Таким образом, добротность колебательной системы равна отношению амплитуды при резонансе к смещению из положения равновесия при действии постоянной силы той же величины.

Вынужденные колебания всегда отстают по фазе от вынуждающей силы. В момент резонанса при условии $\omega_{\text{рез}} \sim \omega_0$ это отставание $\Delta\varphi \sim \pi/2$.

ЛЕКЦИЯ 3

3.1. Распространение колебания в упругой среде.

Если частица совершает гармонические колебания по закону: $x(t) = A \cos(\omega t + \psi)$ в упругой среде (твёрдой, жидкой, газообразной), то колебания будут передаваться соседним частицам этой среды с сохранением частоты этих колебаний. На рис.1 дана иллюстрация процесса возникновения и распространения колебания частиц упругой среды. Исходно не деформированная среда (рис.1а) после взаимодействия с источником колебаний разделена на области, которые растянулись (на рис.1б обозначены красным цветом) или сжались (на рис.1б обозначены синим цветом).

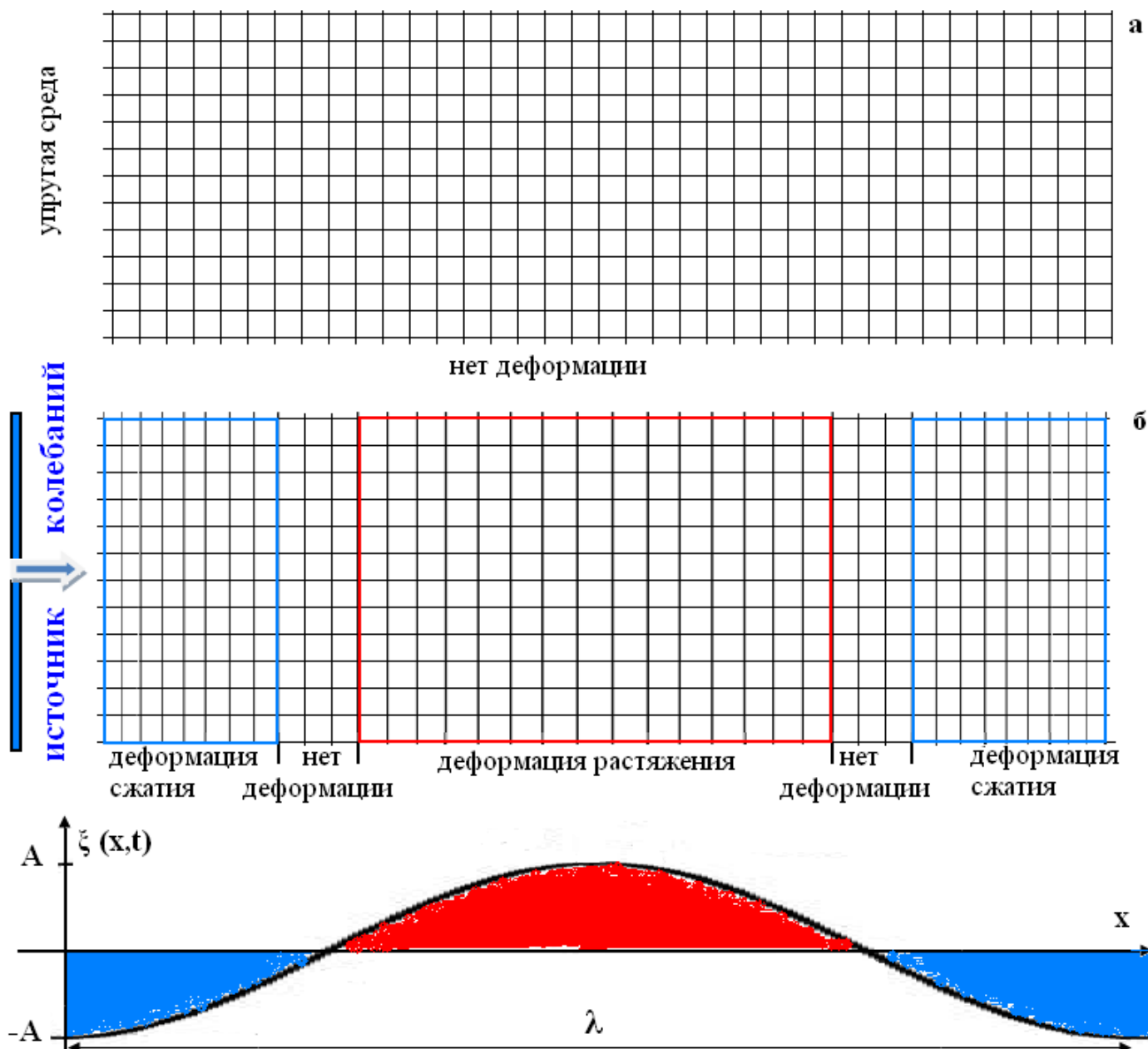


Рис. 1. – Иллюстрация процесса распространения деформации в упругой среде. Направление колебаний частиц упругой среды и направление распространения волнового фронта совпадают – плоская, продольная волна

Если величину отклонения частицы упругой среды от положения равновесия обозначить через $\xi(x,t)$, то с удалением от источника колебаний она изменяется так, как

представлено на графике (рис.1). Очевидно, что чередование областей деформирования упругой среды означает перенос энергии колебаний в направлении от источника колебаний. На расстоянии λ происходит повторение фазы колебания, а именно, частица упругой среды, преодолев максимальную величину деформации сжатия, движется к положению равновесия. Если период колебаний T , а скорость распространения колебаний в упругой среде обозначить V , то

$$\lambda = VT \quad (1).$$

Процесс распространения колебаний с переносом энергии, но без переноса частиц материи в пространстве называют волновым процессом.

На рис. 1 источник колебаний имеет форму плоской пластины, поэтому такой волновой процесс будет именоваться **плоской волной**. Если источник имеет симметрию цилиндра или сферы, то соответствующие волновые процессы именуется *цилиндрическими и сферическими волнами*. **Волновой поверхностью** называется геометрическое место точек упругой среды, которые совершают колебания в одной фазе (синфазно). **Волновым фронтом** называют волновую поверхность на границе разделяющей область упругой среды (где колебания уже совершаются) и не возмущенной области (где колебания ещё не начались). Волновой процесс называют **продольной волной**, если направление колебаний частиц упругой среды и направление распространения волнового фронта совпадают (рис. 1 б). Волновой процесс называют **поперечной волной**, если направление колебаний частиц упругой среды и направление распространения волнового фронта взаимно перпендикулярны. Иллюстрацию волнового процесса – поперечной волны можно представить, если источник колебаний воздействует на упругую среду не перпендикулярно её поверхности (как на рис. 1б), а по касательной (тангенциально). Легко догадаться, что тангенциальное воздействие (по касательной) на поверхность жидкой или газообразной упругой среды, скорее всего, не приведёт к распространению деформации в объём среды. Напротив, тангенциальное и нормальное воздействие источника колебаний на поверхность твердого тела вызовут распространение колебаний в объём твердого тела. Поэтому, в твердых телах легко возбуждаются, как продольные, так и поперечные волновые процессы, а в газах и жидкостях только продольные.

Длина волны λ (1) – кратчайшее расстояние между частицами упругой среды, которые совершают колебания в одной фазе (синфазность), или расстояние на которое распространяется волновой процесс за один период колебания.

Уравнением плоской волны будем называть величину отклонения от положения равновесия материальной точки упругой среды $\xi(x, y, z, t)$ в зависимости от координаты и времени от начала воздействия источника колебаний.

Для плоской волны величина отклонения от положения равновесия точки с радиус вектором (\mathbf{r}) в момент времени (t) :

$$\xi(x, y, z, t) = \xi(\mathbf{r}, t) = A \cos(\omega t - \mathbf{k} \cdot \mathbf{r}) \quad (2),$$

где A – максимальная величина отклонения от положения равновесия; ω – частота гармонических колебаний; $\mathbf{k} = 2\pi\mathbf{n}/\lambda$ – волновой вектор; \mathbf{n} – единичный вектор нормальный волновой поверхности; $k = 2\pi/\lambda$ – волновое число.

С учетом $\mathbf{kr} = k_x x + k_y y + k_z z$ можно записать:

$$\xi(\mathbf{x}, \mathbf{y}, \mathbf{z}, t) = \xi(\mathbf{r}, t) = A \cos(\omega t - k_x x - k_y y - k_z z) \quad (3)$$

$$\xi(\mathbf{x}, t) = A \cos(\omega t - k_x x) \quad (3.1)$$

для одномерной среды.

Уравнение плоской волны (3) – решение дифференциального уравнения, которое называют **Волновое уравнение**.

Найдем вид волнового уравнения суммированием частных вторых производных уравнения плоской волны:

$$\frac{\partial^2 \xi}{\partial t^2} = -\omega^2 A \cos(\omega t - kr) = -\omega^2 \xi, \quad (4.1)$$

$$\frac{\partial^2 \xi}{\partial x^2} = -k_x^2 A \cos(\omega t - kr) = -k_x^2 \xi, \quad (4.2)$$

$$\frac{\partial^2 \xi}{\partial y^2} = -k_y^2 A \cos(\omega t - kr) = -k_y^2 \xi, \quad (4.3)$$

$$\frac{\partial^2 \xi}{\partial z^2} = -k_z^2 A \cos(\omega t - kr) = -k_z^2 \xi \quad (4.4)$$

Складывая уравнения (4.2), (4.3), (4.4) получим:

$$\frac{\partial^2 \xi}{\partial x^2} + \frac{\partial^2 \xi}{\partial y^2} + \frac{\partial^2 \xi}{\partial z^2} = -(k_x^2 + k_y^2 + k_z^2) \xi = -k^2 \xi \quad (5),$$

из уравнений (4.1) и (5) следует, что:

$$\frac{\partial^2 \xi}{\partial x^2} + \frac{\partial^2 \xi}{\partial y^2} + \frac{\partial^2 \xi}{\partial z^2} = \frac{k^2}{\omega^2} \frac{\partial^2 \xi}{\partial t^2} \quad (6),$$

а с учетом $k = 2\pi/\lambda$, $\omega = 2\pi/T$, $\omega/k = \lambda/T = V$, т.е. фазовая скорость волны (имеет физический смысл быстроты распространения фазы колебательного процесса в упругой среде) получим:

$$\frac{\partial^2 \xi}{\partial x^2} + \frac{\partial^2 \xi}{\partial y^2} + \frac{\partial^2 \xi}{\partial z^2} = \frac{1}{V^2} \frac{\partial^2 \xi}{\partial t^2} \quad (6.1),$$

используя оператор Лапласа (сумма вторых частных производных по координатам)

можно записать: $\Delta \xi = \frac{1}{V^2} \frac{\partial^2 \xi}{\partial t^2}$.

Скорость распространения плоской волны. Как можно увидеть на рисунке 1,

относительная деформация упругой среды при прохождении волны - $\epsilon = \frac{\partial \xi}{\partial x}$, т.е. градиент

волновой функции имеет смысл относительной деформации упругой среды. В свою очередь, градиент относительной деформации упругой среды будет $\frac{\partial \varepsilon}{\partial x} = \frac{\partial^2 \xi}{\partial x^2}$. Из закона Гука $\sigma = E \varepsilon$, где σ – напряженность при деформации (F/S), E – модуль упругости, следует, что $F/S = E \varepsilon$; $F = m a = \rho V a = \rho S \delta x a$; $\sigma = \rho \delta x a = E \varepsilon$; $a \rho / E = \varepsilon / \delta x$, где ρ – плотность, δx – очень тонкий слой упругой среды. Вместо ускорения запишем вторую производную по времени, а вместо $\varepsilon / \delta x$ вторую производную по координате, в итоге, получим:

$$\frac{\partial^2 \xi}{\partial x^2} = \frac{\rho}{E} \frac{\partial^2 \xi}{\partial t^2} \quad (7).$$

Сопоставляя уравнения (6) и (7) приходим к соотношению, определяющему фазовую скорость продольных упругих волн:

$$V = \sqrt{E/\rho} \quad (8).$$

Из аналогичных рассуждений в отношении фазовой скорости распространения поперечных волн получим:

$$V = \sqrt{G/\rho} \quad (8),$$

где G – модуль сдвига – характеристика упругих свойств материала в отношении сдвиговой деформации.

Следовательно, в твердых упругих средах один источник колебаний возбуждает сразу два волновых процесса – продольные и поперечные волны. Поскольку, модуль сдвига всегда меньше модуля Юнга для одного и того же материала – продольные волны распространяются быстрее поперечных волн.

3.1. Энергия упругой волны.

Волна распространяет потенциальную (ΔE_p) и кинетическую (ΔE_k) энергию, которой обладает бесконечно малый объем ΔV в упругой среде: $\Delta E_p = 0.5 E \varepsilon^2 \Delta V$; $\Delta E_k = 0.5 \rho v^2 \Delta V$.

$$\varepsilon = \frac{\partial \xi}{\partial x}; v = \frac{\partial \xi}{\partial t}; \rho V^2 = E; \rightarrow \Delta E_p = 0.5 \rho V^2 \left(\frac{\partial \xi}{\partial x}\right)^2 \Delta V; \Delta E_k = 0.5 \rho \left(\frac{\partial \xi}{\partial t}\right)^2 \Delta V.$$

$$\text{Полная энергия } \Delta E = \Delta E_p + \Delta E_k = 0.5 \rho V^2 \left(\frac{\partial \xi}{\partial x}\right)^2 \Delta V + 0.5 \rho \left(\frac{\partial \xi}{\partial t}\right)^2 \Delta V = 0.5 \rho \left[V^2 \left(\frac{\partial \xi}{\partial x}\right)^2 + \left(\frac{\partial \xi}{\partial t}\right)^2 \right] \Delta V.$$

Плотность энергии в упругой среде:

$$u = \Delta E / \Delta V = 0.5 \rho \left[V^2 \left(\frac{\partial \xi}{\partial x}\right)^2 + \left(\frac{\partial \xi}{\partial t}\right)^2 \right] \quad (9).$$

Дифференцирование выражения (3.1) даёт:

$$\varepsilon = \frac{\partial \xi}{\partial x} = A k \sin(\omega t - kx); \quad (10)$$

$$v = \frac{\partial \xi}{\partial t} = -A \omega \sin(\omega t - kx); \quad (11).$$

Подставляя (10) и (11) в (9), получим:

$$u = 0.5 \rho [V^2 A^2 k^2 \sin^2(\omega t - kx) + A^2 \omega^2 \sin^2(\omega t - kx)] = \rho A^2 \omega^2 \sin^2(\omega t - kx) \quad (12).$$

Из (12) следует, что полная энергия в разные моменты времени в разных точках пространства различна: полная энергия равно нулю, если в этой точке пространства $\sin(\omega t - kx) = 0$ и равна $\rho A^2 \omega^2$, если $\sin(\omega t - kx) = 1$. Следовательно, средняя величина плотности энергии $u = 0.5 \rho A^2 \omega^2$; среда, в которой распространяется волна, обладает дополнительной энергией, распределенной по закону квадрата синуса. Источник этой энергии – источник колебаний. Волна переносит эту энергию в направлении распространения волнового фронта. Количество энергии, переносимое волной через площадь поперечного сечения в единицу времени называется потоком энергии Φ (скалярная величина). Плотностью потока энергии называют векторную величину, модуль которой $J = \Delta \Phi / \Delta S \cos \alpha$, где α – угол между направлением распространения волнового фронта и нормалью к поверхности ΔS .

Если выражение (12) умножить на скорость распространения волны в упругой среде, то получим плотность потока энергии:

$$J = uV = 0.5 \rho A^2 \omega^2 V \quad (13).$$

Вектор плотности потока энергии имеет размерность ватт/м², его принято называть вектором Умова.

Через вектор Умова можно дать полное определение потока энергии переносимой волной:

$$\Phi = \int_S \mathbf{J}, d\mathbf{S} \quad (14),$$

где под интегралом стоит скалярное произведение векторов \mathbf{J} и $d\mathbf{S}$. Вектор \mathbf{J} по модулю равен $0.5 \rho A^2 \omega^2 V$, а по направлению совпадает с волновым вектором (направлением распространения волны). Вектор $d\mathbf{S}$ по модулю равен площади dS , а по направлению совпадает с нормалью к этой площадке.

Методический материал на тему: СЛОЖЕНИЕ КОЛЕБАНИЙ

ЗАДАЧА №1: Материальная точка (M) под действием пружины совершает незатухающие колебания $x_1(t)=A_1\cos(\omega t+\varphi_1)$. Математический маятник, закрепленный на M , совершает незатухающие колебания $x_2(t)=A_2\cos(\omega t+\varphi_2)$ (см. рис. 1). Под действием двух независимых упругих сил, материальная точка (m) участвует одновременно в двух колебаниях. Найти уравнение движение результирующего колебания м.т. m .

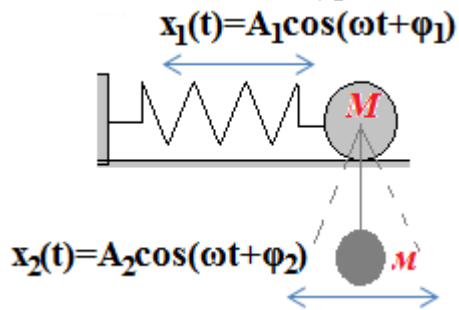
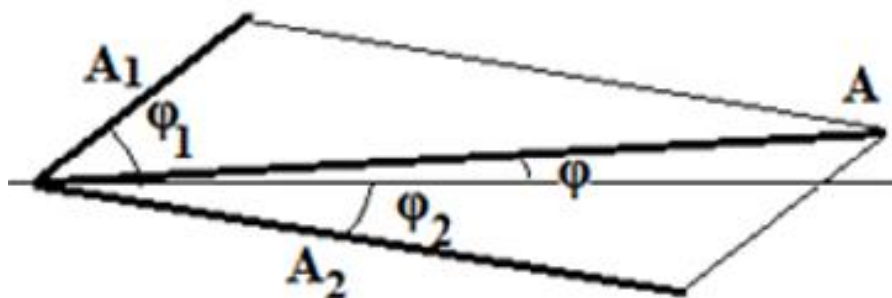


Рис. 1 – Два независимых колебания м.т. m .

РЕШЕНИЕ. Сложение уравнений движения (1, 2) приводит к соотношению (3). Графически такое сложение иллюстрирует векторная диаграмма на рисунке 2. Если отложить вектора по модулю равные амплитуде колебания и относительно произвольной оси повернуть их на угол равный начальной фазе колебания, то вектор равный их сумме будет иметь модуль равный амплитуде результирующего колебания. Для определения A можно использовать соотношение (4) - теорема косинусов. Начальная фаза результирующего колебания может быть определена из соотношения (5). Амплитуда и начальная фаза результирующего колебания можно измерить на векторной диаграмме (рис. 2).



$$x_1(t)=A_1\cos(\omega t+\varphi_1) \quad x_2(t)=A_2\cos(\omega t+\varphi_2) \quad (1, 2)$$

$$x(t)=x_1(t) + x_2(t) = A\cos(\omega t+\varphi) \quad (3)$$

$$A = \sqrt{(A_1^2 + A_2^2 - 2A_1A_2\cos\Delta\varphi)} \quad (4)$$

$$\operatorname{tg}\varphi = (A_1\sin\varphi_1 + A_2\sin\varphi_2) / (A_1\cos\varphi_2 + A_1\cos\varphi_2) \quad (5)$$

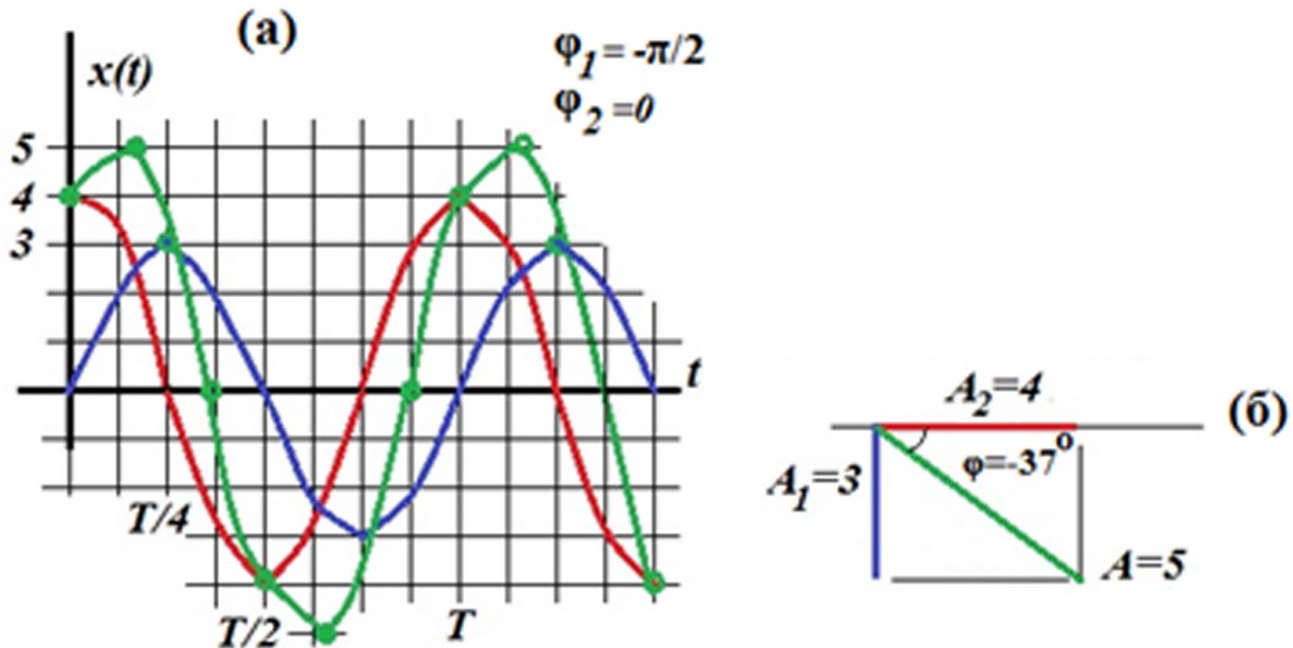
Рис. 2 – Векторная диаграмма для сложения колебаний (с одинаковой частотой), совершаемых в одном направлении.

ЗАДАЧА №2: Найти амплитуду колебания (A), возникающего при наложении двух упругих волн одинаковой частоты и бегущих в одном направлении. Амплитуда одной волны 3 см, другой 4 см, неизменная разность фаз составляет $\pi/2$.

РЕШЕНИЕ: Поскольку распространение упругих волн одинаковой частоты и бегущих в одном направлении возбудит одновременные колебания частиц среды, которым отвечают уравнения (1, 2), с учетом принципа суперпозиции, имеем право записать соотношение (3) см. рис.2. Решения возможно в двух вариантах:

1) Для графического сложения (3) в координатах $x=f(t)$ построим два графика: $x_1(t)=3\cos(\omega t-\pi/2)$ и $x_2(t)=4\cos\omega t$ см. рисунок №3а. Далее путем сложения величин отклонения в одинаковые моменты времени точек x двух графиков получаем искомый график результирующего колебания (см. зелёная линия на рис. 3а).

2) Сложение с помощью векторной диаграммы представлен на рис. 3б. В обоих вариантах получаем амплитуду колебания $A=0,05\text{м}$.



$$\underline{x_1(t) = 3\cos(\omega t - \pi/2) = 3\sin\omega t}$$

$$\underline{x_2(t) = 4\cos\omega t}$$

$$\underline{x(t) = x_1(t) + x_2(t) = \sqrt{(A_1^2 + A_2^2 - 2A_1A_2\cos\Delta\phi)} \cos[\omega t + \arctg(A_1/A_2)] = 3\sin\omega t + 4\cos\omega t = 5\cos[\omega t + \arctg(-3/4)] = 5\cos(\omega t - 37^\circ)}$$

ОТВЕТ: $A = 0,05 \text{ м}$

Рис. 3 – Сложение колебаний одинаковой частоты, совершаемых в одном направлении. Метод графического сложения (а) и метод векторной диаграммы (б).

Дополнительная информация доступная в рамках ДО на первом семестре

<https://cchgeu.ru/education/cafedras/kaffiz/?docs>

ВГТУ/Образование/Кафедры/кафедра физики//Документы/Общие документы

Контрольно- измерительный материал для промежуточной аттестации студентов

Контрольная работа №1

Физика 1 часть_Механика

Контрольные задания для защиты лабораторных работ 320